

УДК 004.085

**I. В. Горбов¹, А. А. Крючин¹, Д. Ю. Манько¹,
О. І. Толмачов², В. В. Курдюков², Ю. Л. Сломінський²**

¹Інститут проблем реєстрації інформації НАН України

вул. М. Шпака, 2, 03113 Київ, Україна

²Інститут органічної хімії НАН України

вул. Мурманська, 5, 02660 Київ, Україна

Вплив термічного відпалу на оптичні властивості тонких композитних плівок

Методом центрифугування було отримано композитні плівки органічний барвник – полімер і досліджено вплив термічного відпалу на їхні оптичні властивості. Показано, що підвищення температури термообробки призводить до зниження кількості органічного компонента та структурної перебудови поверхні барвника разом з його структурним упорядкуванням, що призводять до одночасного зменшення інтенсивності поглинання, зменшення товщини плівки та збільшення показника заломлення.

Ключові слова: оптичний запис, лазерна термолітографія, реєстрування середовища, композитна плівка, органічний барвник.

Вступ

Основою виготовлення нанорозмірних об'єктів та оптичного запису інформації є лазерна обробка шару фоторезисту чи іншого фоточутливого матеріалу з наступним його травленням або з безпосереднім використанням отриманого рельєфу. Для експозиції резистивної плівки можна використовувати як оптичний пучок, так і пучок електронів. Проте електронно-променеві методи вимагають глибокого вакууму та дорогого устаткування. Тому переваги віддаються оптичним методам як більш технологічним і дешевим. Разом з тим використання оптичних методів не вимагає великих зусиль і затрат. Проте для роботи з нанотехнологіями та надцільного запису інформації необхідно створювати об'єкти з характерними розмірами близько 100 нм. Використання оптичної системи з максимально можливою числововою апертурою $NA \approx 1$ та довжиною хвилі 405 нм створить світлову пляму діаметром 480 нм, що значно перевищує необхідне значення. Так як швидкість хімічної реакції у фоторезисті пропорційна інтенсивності світла, а швидкість травлення пропорційна кількості молекул, що прореагували, то ширина пітів буде

фактично такою ж як ширина світлової плями і, як наслідок, подібна технологія не може бути використана для нанотехнологій. Попередні експериментальні дослідження такого методу показали, що мінімальна ширина пітів, отриманих лазерним променем з довжиною хвилі 405 нм і сфокусованого об'єктивом з числовою апертурою 0,85, становить 550 нм [1].

Одним із перспективних підходів для подальшого розвитку оптичних нанотехнологій є лазерна термолітографія, що також відомо як фототермічний запис, при якому під впливом лазерного опромінення відбувається нагрів реєструвального шару та його фазове перетворення [2]. Такий метод дозволяє здолати дифракційну межу та робить можливим використання лазерів з довжиною хвиль видимого діапазону для отримання наноструктур, що суттєво знижує вартість відповідного обладнання.

Основною вимогою для здійснення термолітографічного запису даних є використання реєструвальних матеріалів з пороговими властивостями. В якості таких матеріалів можуть використовуватися тонкі композитні плівки на базі полімерних сполук з додаванням сенсибілізуючих домішок. Як полімерну матрицю найчастіше використовують органічні фоторезисти (ФР), поліметилметакрилат (ПММА), поліетилен (ПЕ), політетрофторетилен (ПТФЕ) та ін. [3–5]. Для сенсибілізації можуть використовуватися як метали, так і органічні барвники, що дозволяє отримати плівки з необхідними пороговими властивостями та здійснити термолітографічний запис [6–8]. Наприклад, на тонких плівках $\text{Co}(\text{L})_2$ було отримано піти діаметром 300–500 нм за допомогою лазерного променю з довжиною хвилі 405 нм, що був сфокусований лінзою з числовою апертурою 0,9 [3]. Кращі результати було отримано в плівках ПММА, що були сенсибілізовані органічними барвниками (спіропіранами та мероціанами) [9]. За допомогою лазерного опромінення з довжиною хвилі 404 нм було отримано піти діаметром 160–300 нм [9].

Необхідно зауважити, що при схожості умов запису в наведених прикладах отримані піти суттєво відрізняються, що зумовлено саме характеристиками реєструвального середовища. Таким чином, однією з актуальних задач термолітографії є створення відповідних реєструвальних середовищ, дослідження їхніх характеристик і визначення оптимальних режимів запису. Для досягнення цієї мети пропонується використання органічних барвників, що є дуже привабливим матеріалом для термолітографії і довготермінового зберігання інформації.

Виготовлення зразків

Одним із основних факторів, що визначає розмір отриманих у процесі лазерного запису пітів, є сукупність оптичних і теплових характеристик реєструвального середовища, які мають задовольняти суперечливим вимогам, а саме: мати велике оптичне поглинання та відбиття, а також малу тепlopровідність та теплоемність. Якщо першим вимогам найкраще задовольняють метали, то останнім — органічні матеріали, тому виробити з природних однокомпонентних матеріалів середовища з потрібними параметрами неможливо. Було розроблено багатокомпонентні тонкоплівкові матеріали, як композитні, так і тверді розчини, в яких полімерна матриця задає потрібні термофізичні властивості, а наповнювач — оптичні параметри.

На даний час для оптичного запису широко застосовуються напівпровідниково-ві лазери з довжиною хвилі 405 нм. Тому для проведення експериментального дослідження впливу термічного відпалу на зміну оптичних параметрів композитних плівок було виготовлено ряд зразків, які інтенсивно поглинають світло в області 390–410 нм, а саме — зразки тонких плівок на основі нульметинмероціанінів похідних пірану та дигідропіридину, основ α -циано- та 4-амінозаміщених стирилів [4, 8]. За матрицю використовували позитивний фоторезист (ФР), а за розчинник — тетрафторпропанол (ТФП) та діїзобутилкетон (ДІБК). У табл. 1 наведено основні дані про основні синтезовані зразки з різними матрицями та органічними барвниками.

Таблиця 1. Основні дані по типовим синтезованим зразкам на базі органічних барвників

Зразок	Т розкладу барвника, °C	Максимум поглинання, нм	Концентрація, %	Матриця
KS-51	150	381	0,9	ФР
KS-69	125	393	1,5	ТФП*
KS-70			1,5	
KS-65	150	390	1,5	ФР
KT-11	>250	400	1	
KT-12	>250	400	1	
K7-1	>281	437	2	ТФП*

*плівка барвника

За матрицю ми використовували позитивний органічний фоторезист Shipley 1805, який широко вживаний в мікроелектроніці та в системах мастерінгу оптичних дисків [10]. Вибір цього середовища також був обумовлений тим, що він здатен поглинати світло з довжиною хвилі 405 нм, а також крізь вікна у цьому фоторезисті може проводитися йонно-променеве травлення підкладок оптичних носіїв з метою створення мікрорельєфних структур на їхній поверхні.

Плівки наносилися на центрифузі з частотою обертання близько 2800 об./хв. Після нанесення плівки, відповідно до технології нанесення обраного фоторезисту, зразки відпалювалися при температурі 90 °C. Після першої серії досліджень з метою видалення залишків розчинника зразки додатково відпалювалися протягом 2 год. при температурі 140 °C. Товщина композитної плівки складала 50–150 нм, що було достатньо для здійснення процесу плазмохімічного травлення. Перед поливом зразки були ретельно очищені від хімічних залишків. Товщина плівок і коефіцієнт їхнього заломлення визначалися за допомогою розв'язку оберненої задачі еліпсометрії. Еліпсометричні параметри визначалися за допомогою методу нульової еліпсометрії, використовуючи лазерний еліпсометр ЛЕФ ЗМ-1, що працює на довжині хвилі $\lambda = 632,8$ нм [11]. Обернена задача еліпсометрії була розв'язана за допомогою методу оптимізації Хука-Джівса [12] в моделі тонка плівка – діелектрична підкладка. Кут падіння поляризованого світла під час проведення експерименту варіювався в межах 45–58°. Крім того, оптичні властивості, в тому числі й еліпсометричні, є тими фундаментальними властивостями, які близько пов'язані із структурними особливостями й атомно-електронною будовою самого матеріалу [13].

Експериментальні дослідження та обговорення результатів

На першому етапі було проведено дослідження спектральних характеристик виготовлених композитних плівок і їхніх залежностей від температури відпалу (рис. 1). З рисунка видно, що найкращі поглинальні характеристики на довжині хвилі 405 нм притаманні плівкам КТ-11, КТ-12 і KS-65, максимум поглинання яких відбувається на довжині хвилі ~400 нм, а її абсолютна величина складає ~70 %. Необхідно відзначити, що дані зразки було виготовлено на базі ФР, який не відзначається такими властивостями (рис. 1). На довжині хвилі ~470 нм спостерігається ще одна смуга поглинання з максимумом, яка зумовлена власною характеристикою ФР. Набагато гіршими поглинальними властивостями володіють зразки KS-69 та KS-70, які було виготовлено на основі матриць ТФП і ДІБК відповідно (табл. 1). Таким чином, можна стверджувати, що вибір ФР як матриці для реєструвального середовища є оптимальним. Необхідно відзначити відносно широкий спектр поглинання плівки К7-1 на основі азо-комплекса [7].

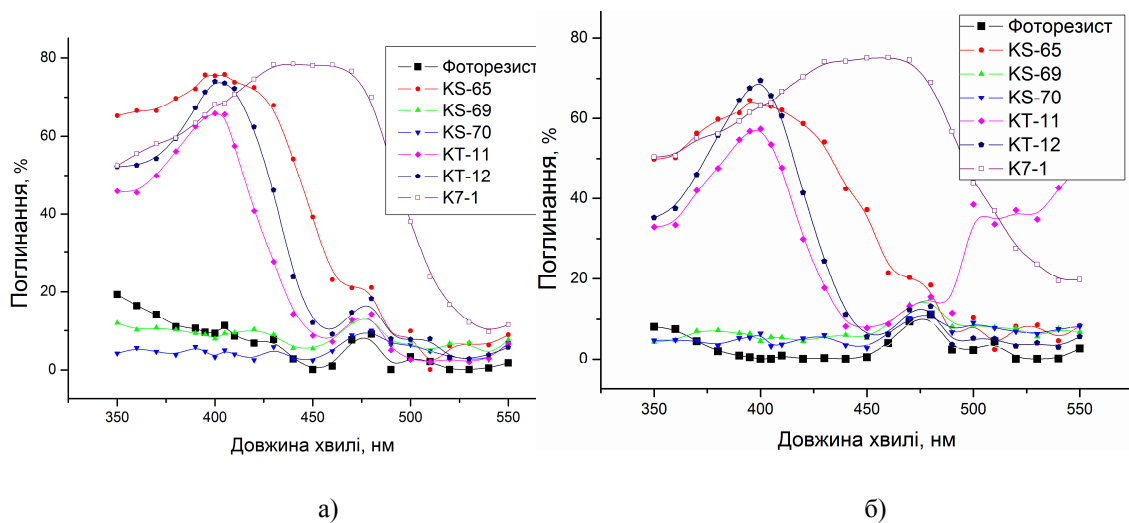


Рис. 1. Спектральні залежності оптичного поглинання для тонких композитних плівок після їхнього нанесення (а) та після відпалу при температурі 140 °С (б)

Після проведення термічної обробки оптичні спектри поглинання зазнали суттєвих змін, що необхідно враховувати при моделюванні процесу термоліто-графічного лазерного запису. Так, смуги поглинання для всіх зразків стали менш інтенсивними. Слід відмітити особливості оптичного поглинання зразків КТ-11, КТ-12 та К7-1, які зазнали найменших змін після термічного відпалу. Таким чином, подальші еліпсометричні дослідження було вирішено проводити для зразків на базі фоторезисту.

На рис. 2 представлено дані еліпсометричних досліджень плівки фоторезисту, нанесеної на скляну підкладку. З рисунку видно, що кутові залежності азимуту відновленої лінійної поляризації Ψ і різниці фаз між p - і s -поляризованого світла Δ не змінюють характер своєї поведінки при проведенні термічного відпалу при температурі 90 °С, яка є стандартною для процесу нанесення даного фоторезисту. Криві Ψ для випадків щойно виготовленого зразка і відпаленого при температурі

90 °C майже невідрізняється. Сутєва різниця з щойновиготовленим зразком спостерігається після відпалу при температурі 140 °C. Потрібно відмітити, що крива Ψ може бути апроксимована за допомогою лінійної залежності $y = k \cdot x + b$. При цьому крива Ψ може бути апроксимована за допомогою поліному другого порядку. З результатів еліпсометричних досліджень можна також зробити висновок, що широтистість поверхні тонкої плівки фоторезисту майже не змінюється при проведенні термічних обробок.

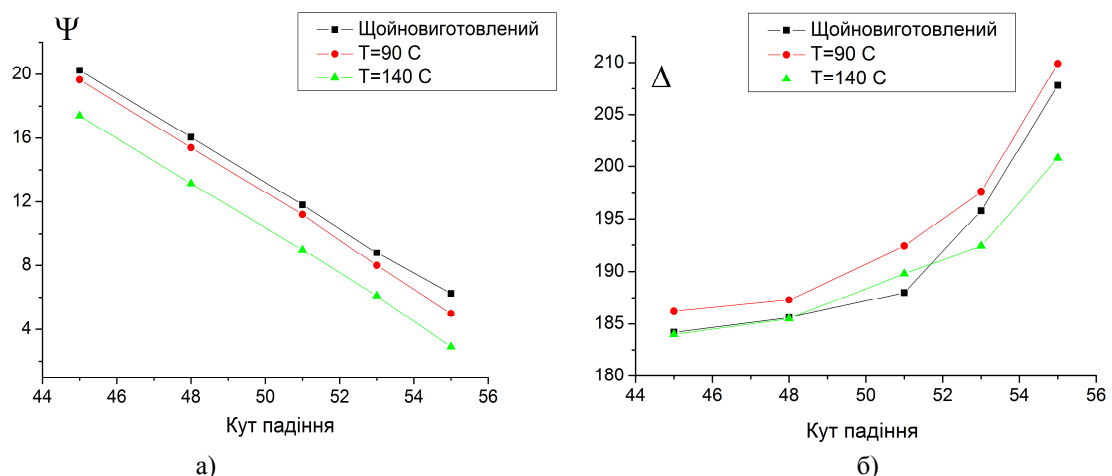


Рис. 2. Еліпсометричні параметри Ψ (а) і Δ (б) тонкої плівки ФР

Недоліком зазначеного зразка є те, що при проведенні термічних відпалів навіть при невеликих температурах спостерігається значне зменшення товщини тонкої плівки (табл. 2). Так, при проведенні відпалу при $T = 90\text{ }^{\circ}\text{C}$ товщина тонкої плівки зменшується на 15 %, а при проведенні відпалу при $T = 140\text{ }^{\circ}\text{C}$ її товщина зменшується на 35 % порівняно з вихідним станом. Можна зробити висновок, що термічний відпал плівок фоторезисту може суттєво впливати на кінцевий результат при проведенні лазерного запису і термічної літографії, що ще раз підтверджує актуальність пошуку відповідного органічного барвника, який може прийти йому на заміну.

Таблиця 2. Геометричні і оптичні властивості тонких плівок барвників

Барвник	Свіжий		Термічно оброблений при $T = 90\text{ }^{\circ}\text{C}$		Термічно оброблений при $T = 140\text{ }^{\circ}\text{C}$	
	Показник заломлення	Товщина, нм	Показник заломлення	Товщина, нм	Показник заломлення	Товщина, нм
ФР	1.60	62	1.62	53	1.65	40
KS-65	1.55	165	1.58	153	1.6	125
K7-1	1.67	143	1.70	141	1.70	137
KT-11	1.6	172	1.62	143	1.63	112
KT-12	1.52	161	1.60	160	1.63	151

На рис. 3 представлено еліпсометричні дані для зразків тонкої плівки органічного барвника KS-65. Аналогічно до зразка фоторезисту кутові залежності азиму-

ту відновленої лінійної поляризації можуть бути апроксимовані лінійними функціями $y = k \cdot x + b$. Але, на відміну від тонких плівок фоторезисту, для зразків барвника KS-65 характерна трохи інша поведінка залежностей Ψ . Рівень цих кривих поступово підвищується завдяки термічним обробкам. Зазвичай така поведінка пов'язана зі зростанням шорсткості поверхні, що викликає її структуруванням і початком процесів кристалізації.

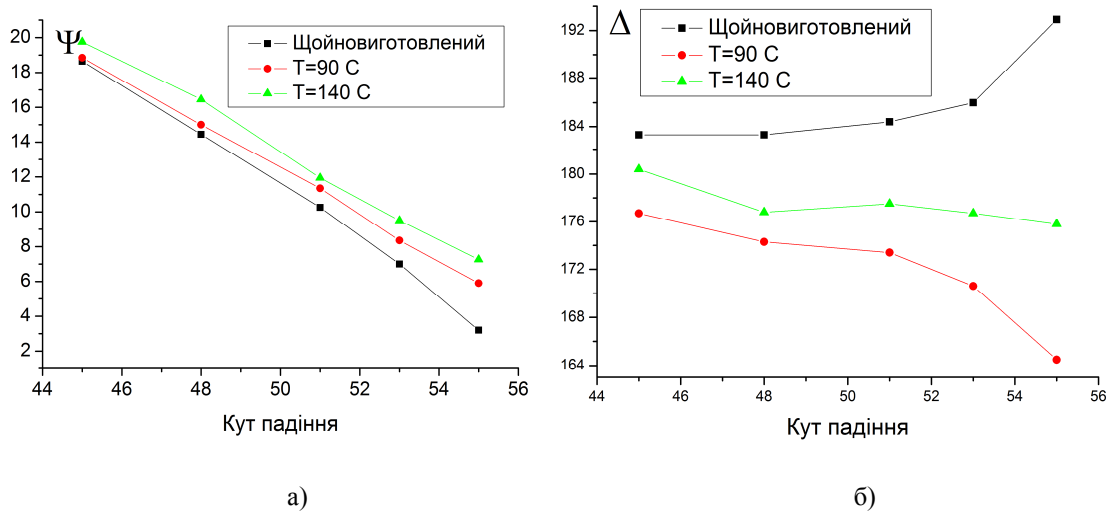


Рис. 3. Еліпсометричні параметри Ψ (а) і Δ (б) тонкої плівки KS-65

Окремої уваги заслуговує поведінка залежностей Δ від кута падіння світла. З рис. 3 видно, що при термічних обробках змінюється їхній характер, що полягає у суттєвій зміні рівня, на якому розташована крива, та вигін кривої стає протилежним до вихідного стану. Причому, виходячи з наведених даних, можна також зробити висновок, що після обробок при $T = 140\text{ }^{\circ}\text{C}$ характер залежності Ψ змінюється знову, при цьому він наближується до такого, що притаманний вихідному станові. Це може бути пов'язано з початком процесів релаксації, параметри якого нажаль не можна встановити без проведення додаткових досліджень. Зазначимо, що зміна товщини зразків при термічній обробці при $T = 90\text{ }^{\circ}\text{C}$ є незначною і стає суттєво помітною лише після обробки при температурі $T = 140\text{ }^{\circ}\text{C}$. При цьому зміна товщини складає близько 25 % порівняно з вихідним станом. З огляду на проведений аналіз можна зазначити, що цей зразок більш прийнятний для технологічних процесів, що відбуваються при підвищених температурах, аніж тонка плівка фоторезисту.

На рис. 4 представлено еліпсометричні дані для зразків тонкої плівки метало-органічної сполуки K7-1. Цей зразок заслуговує на увагу за наступними причинами: а) обидві кутові залежності Ψ і Δ можна апроксимувати лінійними залежностями; б) ані характер залежностей, ані їхні числові значення не змінюються після термічних відпалів в обох режимах. Останній факт означає високу оптичну стабільність і морфологічну стійкість указаної тонкої плівки органічного барвника. Розв'язок оберненої задачі еліпсометрії для зразка K7-1 дає дуже близькі величини товщини плівок як у вихідному стані, так і у станах після термічних обробок. При цьому максимальна відносна зміна товщини зразка не перевищує величини у

5 %. На думку авторів — це дуже добрий результат, а сам зразок тонкої плівки К7-1 є прийнятним для технологічних процесів, що відбуваються при підвищених температурах.

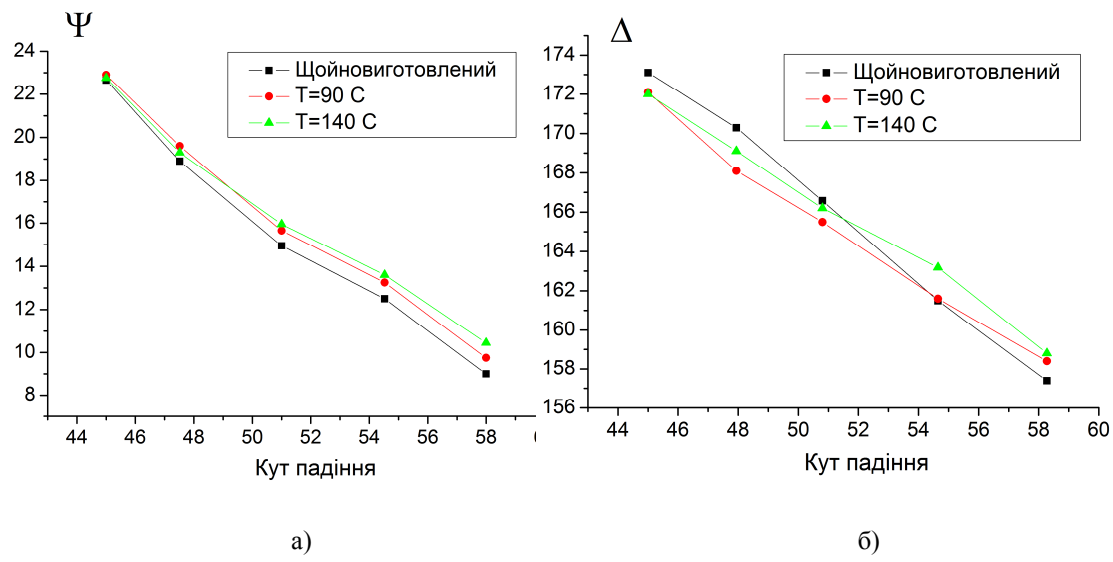


Рис. 4. Еліпсометричні параметри Ψ (а) і Δ (б) тонкої плівки металоорганічної сполуки К7-1

На рис. 5 представлено еліпсометричні дані для зразків тонкої плівки органічного барвника КТ-11. Поведінка кутових залежностей Ψ є схожою до поведінки кутових залежностей для Ψ у випадку вже проаналізованих тонких плівок. Але особливістю самого цього зразка є те, що зміна рівня кривих відбувається при температурі відпалу $T = 90\text{ }^{\circ}\text{C}$ і залишається майже незмінною при подальших термічних обробках. З іншого боку, характер кутової залежності Δ кардинально змінюється як після відпалу при $T = 90\text{ }^{\circ}\text{C}$, так і після відпалу при $T = 140\text{ }^{\circ}\text{C}$. Це вказує на те, що процеси структурування поверхні зразка є необоротними і визначальними вже при термічних обробках при $T = 90\text{ }^{\circ}\text{C}$ і лише незначно корегуються при термічних обробках при $T = 140\text{ }^{\circ}\text{C}$. При цьому відбувається значна зміна товщини тонкої плівки. Так, при температурі відпалу $T = 90\text{ }^{\circ}\text{C}$ товщина тонкої плівки зменшується на 17 %, а при температурі відпалу $T = 140\text{ }^{\circ}\text{C}$ її товщина зменшується майже вдвічі (45 %). Таким чином, цей зразок є найбільш чутливим для технологічних процесів, за яких відбувається термічна обробка.

На рис. 6 представлено еліпсометричні дані для зразків тонкої плівки органічного барвника КТ-12. З рисунка видно вже типову поведінку кутової залежності для Ψ . Можна лише зазначити незначну зміну рівня Ψ у випадку зразка після термічного відпалу при $T = 140\text{ }^{\circ}\text{C}$. Характер кутової залежності Δ зазнає змін при термічному відпалі при $T = 90\text{ }^{\circ}\text{C}$ і змінює поведінку після відпалу при $T = 140\text{ }^{\circ}\text{C}$. Це означає, що для необоротної зміни морфології зразка необхідно проводити відпали при підвищених температурах, а з іншого боку даний барвник є цілком придатний для технологічних процесів при температурах, що не перевищують $T = 90\text{ }^{\circ}\text{C}$. При цьому зменшення товщини при $T = 90\text{ }^{\circ}\text{C}$ знаходитьться у межах похибки вимірювання, лише має місце незначна зміна оптичних властивостей.

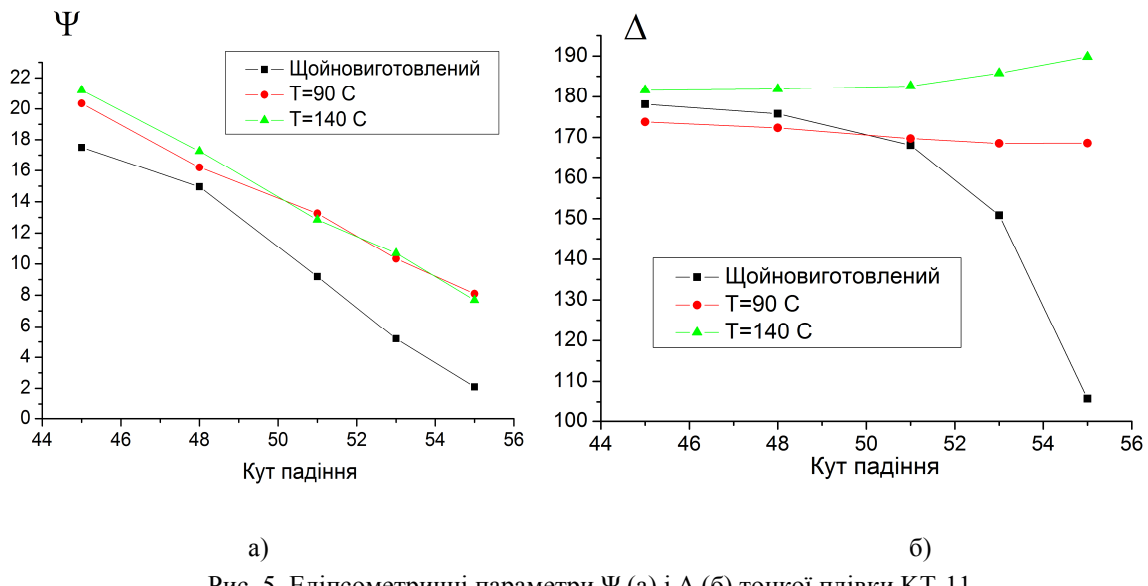


Рис. 5. Еліпсометричні параметри Ψ (а) і Δ (б) тонкої плівки KT-11

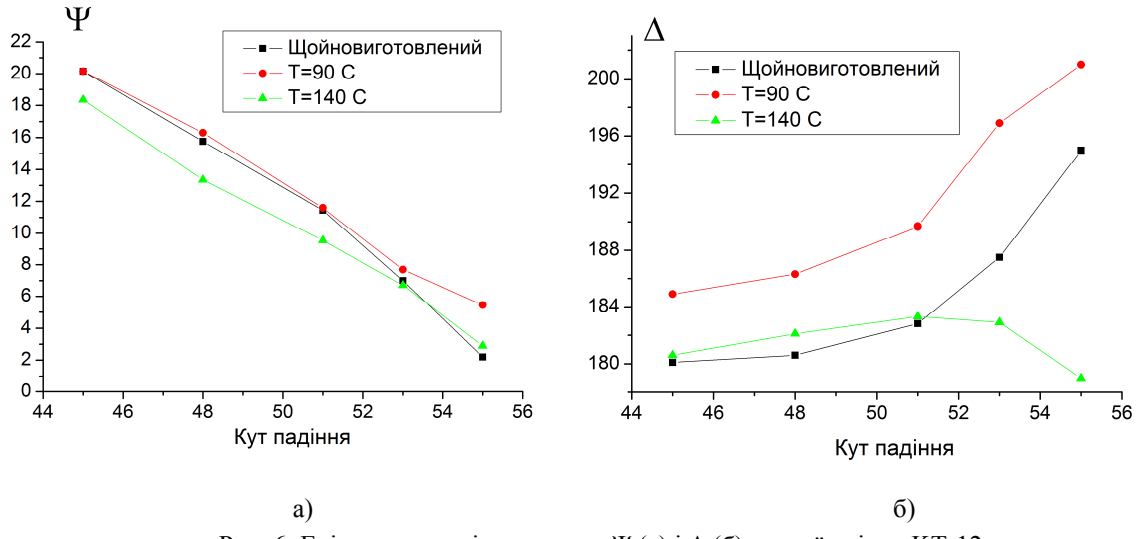


Рис. 6. Еліпсометричні параметри Ψ (а) і Δ (б) тонкої плівки KT-12.

Незначна зміна товщини тонких плівок органічного барвника KT-12 становить приблизно 5 % і має місце лише після термічної обробки при $T = 140$ °C. На думку авторів, цей зразок є придатним для технологічних процесів, при яких відбувається термічна обробка, що характеризується температурою не більше за 90 °C.

Висновки

- Методом центрифугування було отримано композитні плівки органічний барвник – полімер. Показано, що зразки на базі фоторезисту характеризуються більшою селективністю та інтенсивністю поглинання на довжині хвилі 405 nm.
- Досліджено вплив термічного відпалу на мікроструктуру і оптичні властивості виготовлених композитних плівок залежно від температури відпалу. Показано, що підвищення температури термообробки призводить до зниження кіль-

кості органічного компонента, також відбувається структурна перебудова поверхні барвника разом з його структурним упорядкуванням. Ці два ефекти призводять до збільшення показника заломлення і зменшення товщини покриття одночасно. При цьому спостерігається зменшення інтенсивності поглинання

3. Для термолітографічного запису запропоновано використовувати композитні плівки, оптичні характеристики яких не зазнають суттєвих змін під впливом термічного відпалу.

1. *Petrov V.V. Using ion beams for creation of nanostructures on the surface of high-stable materials / V.V. Petrov, A.A. Kryuchyn, I.V. Gorbov // Semiconductor Physics, Quantum Electronics & Optoelectronics. — 2007. — Vol. 10, N 1. — P. 27–29.*
2. *Optimization of Ge–Sb–Sn–O films for thermal lithography of submicron structures / Jh. Chen, J. Lin, J. Chen, K. Chiu // Japanese Journal of Applied Physics. — 2012. — N 51. — P. 06FC03-1–06FC03-6.*
3. *Optical characterization and blu-ray recording properties of metal(II)-azo barbituric acid complex films / X.Y. Li, Y.Q. Wu, D.D. Gu, F.X. Gan // Materials Science and Engineering B. — 2009. — N 158. — P. 53–57.*
4. *Optical recording media based on nanoparticles for superhigh density information storage / K. Grytsenko, O. Belyaev, A. Kryuchin [et al.] // Optical Memory and Neural Networks. — 2013. — Vol. 22, N 3. — P. 127–134.*
5. *Substrate-induced self-assembly of donor-acceptor type compounds with terminal thiocarbonyl groups / O. Dimitriev, K. Grytsenko, P. Lytvyn [et al.] // TSF. — 2013. N 539. — P. 127 – 133.*
6. *The influence of temperature on optical properties of merocyanine dye thin films / M.M. Sieryk, T.P. Doroshenko, K.P. Grytsenko [et al.] // Semiconductor Physics, Quantum Electronics & Optoelectronics. — 2013. — Vol. 16, N 1. — P. 91–96.*
7. *Spectral, thermal and optical properties of metal(II)-azo complexes for optical recording media / X. Li, Y. Wu, D. Gu, F. Gan // Dyes and Pygments. — 2010. — N 86. — P. 182–189.*
8. *Патент України МПК G 11B7/24, В 32B3/02. Способ виготовлення фоточутливого матеріалу для оптичного запису / В.В. Петров, А.А. Крючин, І.В. Горбов, Ю.О. Бородін, Ю.Л. Брикс, В.В. Курдюков, Ю.Л. Сломинський, О.І. Толмачов, К.П. Гриценко, ІО.В. Коломзаров, заявники: Ін-т проблем реєстрації інформації НАН України, Ін-т органічної хімії НАН України. — № а201400846; заявл. 30.01.2014.*
9. *Triolo C. Pure optical nano-writing on light-switchable spirobifluorene/merocyanine thin film / C. Triolo, S. Patanè, M. Mazzeo [et al.] // Optics Express. — 2014. — Vol. 22, N 1. — P. 283–288.*
10. *Busnaina A. Nanomanufacturing Handbook / Ahmed Busnaina. — Boca Raton: CRC Press, 2006. — 432 p.*
11. *Baraton M.I. Functional Gradient Materials and Surface Layers Prepared by Fine Particles Technology / Marie-Isabelle Baraton, Irina V. Uvarova. — Berlin: Springer Science & Business Media, 2001. — 317 p.*
12. *Raju N.V.S. Optimization methods for engineers / N.V.S. Raju. — Amsterdam: PHI Learning Pvt. Ltd., 2014. — 616 p.*
13. *Effects of post-thermal annealing on the optical constants of ZnO thin film / S.W. Xuea, X.T. Zua, W.L. Zhouc [et al.] // Journal of Alloys and Compounds. — 2008. — Vol. 448. — P. 21–26.*

Надійшла до редакції 08.09.2014